

## روشی برای ترسیم خطوط هم سرعت و تخمین دبی در کانال‌های رو باز

دانشیار گروه عمران، دانشکده مهندسی، دانشگاه فردوسی مشهد · محمود فغفور مغربی  
بخش مهندسی آب، دانشکده کشاورزی، دانشگاه شهید باهنر کرمان · مجید رحیم پور

### چکیده

روشی جدید برای پیش‌بینی خطوط هم سرعت بدون بعد در کانال‌های مستطیلی با زیری‌های یکنواخت و غیر یکنواخت ارائه شده است. در ارائه مدل، فرض می‌شود که هر المان از مرز بر روی سرعت نقطه دلخواهی از مقطع جریان اثر داشته و کل اثرات مرز با انتگرال گیری بر روی محیط خیس شده بdst است. در مدل پیشنهادی قانون توانی سرعت بکار رفته و خطوط هم سرعت بدون بعد در کانال مستطیلی با زیری یکنواخت و غیر یکنواخت ترسیم شده است. با استفاده از خطوط هم سرعت بی بعد و اندازه‌گیری سرعت جریان در یک نقطه مناسب، دبی جریان با خطای کمتر از ۵ درصد تخمین زده می‌شود. جهت کالibrاسیون و همچنین اعتبار مدل، پیش‌بینی‌های حاصل از اجرای مدل با داده‌های آزمایشگاهی مقایسه گردید و مشخص شد که نتایج حاصل از مدل با داده‌های آزمایشگاهی همبستگی خوبی دارد.

کلمات کلیدی: خطوط هم سرعت، تخمین دبی، کانال‌های رو باز، زیری غیر یکنواخت.

## A Method for Drawing Isovel Contours and Estimation of Discharge in Open-Channels

M. Faghfor Maghrebi      Civil Engineering Dept., Ferdowsi University of Mashhad  
M. Rahimpour      Water Engineering Dept., Shahid Bahonar University of Kerman

### Abstract

In order to obtain the isovel contours in a channel cross section, a simple model is proposed. The model is able to estimate the isovel contours in a channel cross section with uniform and composite roughnesses. In this model, it is assumed that each element of boundary influences the velocity at an arbitrary point of the channel cross section in the same way as a velocity distribution profile such as power law does. By integration of the total effect of channel boundary, using the power law velocity distribution, the isovel contours can be easily obtained. Then, by the use of a single point of velocity measurement, discharge can be estimated. The results of discharge estimations show a good agreement between the calculated discharges using the proposed model and experimental ones.

**Key words:** isovel contours, discharge estimation, open-channel flow, composite roughness.

## ۱- مقدمه

و  $\xi$  متغیری در قانون توزیع لگاریتمی سرعت است که بصورت زیر تعریف می‌شود:

$$\xi = \frac{u^*}{K} \ln \left( \frac{\xi}{\xi_0} \right) \quad (3)$$

در معادلات فوق  $D$  عمق جریان،  $\varepsilon$  مختصات در جهت قائم،  $K, \beta_i, \delta_i, \delta_y, \delta_0, \delta_\varepsilon$  ضرائب مشخصات توزیع سرعت،  $u^*$  سرعت برشی متوسط و  $u$  سرعت جریان است. پارامترها و سیستم مختصات در شکل (۱) نشان داده شده‌اند. شبیه خطوط هم سرعت ( $\xi$ ) را می‌توان با مشتق‌گیری از معادله (۱) محاسبه کرد [۴, ۵]

$$S_\xi = \frac{dy}{d|z|} = \beta_i \frac{D + \delta_y + \varepsilon}{B_i + \delta_i} \frac{YZ}{(1-Y)(1-Z)} \quad (4)$$

هنگامی که سرعت ماکریزم زیر سطح آزاد جریان اتفاق افتاد ( $\varepsilon < 0$ ) با توجه به معادلات (۲)  $Y > 1$  است و همچنین  $(1-Z) < D + \varepsilon$  با  $D + \varepsilon < Y < 1$  است. شبیه خطوط هم سرعت منفی است ( $\xi < 0$ ). وقتی که سرعت ماکریزم درست در سطح آزاد جریان اتفاق افتاد ( $\varepsilon = 0$ ) خطوط هم سرعت بر سطح آزاد جریان عمود است. برای  $Y < 0$  با  $D + \varepsilon < Y < 1$  شبیه خطوط هم سرعت بزرگتر و با مساوی صفر است.

این مدل دارای پارامترهای زیاد بوده که تخمین آنها مشکل است و به رژیم جریان، درجه آشفتگی و نیز وجود جریان‌های ثانویه توجهی ندارد. در ضمن هندسه دقیق کanal را نیز نمی‌تواند شبیه سازی کند.

سرعت ازکمیت‌های اصلی جهت اندازه‌گیری جریان در تحقیقات هیدرولیکی است؛ برای تعیین توزیع سرعت در کانال‌های روباز، کارهای نظری کمی صورت گرفته و بیشتر از روابط تجربی استفاده شده است. در روابط اساسی که برای تعیین توزیع سرعت بکار گرفته می‌شود، وابستگی زیادی بین سرعت و تنش برشی نه تنها در داخل جریان بلکه در مجاورت جداره وجود دارد. توزیع سرعت و تنش برشی مرزها برای جریان کاملاً توسعه یافته، یکنواخت و دائمی در کانال‌های مستطیلی توسط محققین زیادی بررسی شده است [۱, ۹, ۱۲, ۱۹, ۲۱] همچنین توزیع سرعت و نیز سرعت‌های متوسط‌گیری شده عمقی در کانال‌های ۷ شکل در مرجع [۱۷] با استفاده از اندازه‌گیری نقطه‌ای سرعت توسط مولینه ارائه شده است. سرعت جریان در یک مقطع کanal معمولاً از نقطه‌ای به نقطه دیگر تغییر می‌کند. این امر ناشی از تنش برشی در کف و دیوارهای کناری کanal و به علت وجود سطح آزاد جریان می‌باشد. توزیع سرعت در مقطع کanal به عواملی مانند دانسیته و لزجت سیال، شکل مقطع، زبری جدارهای کanal و وجود انحنای در مسیر کanal بستگی دارد [۳]. توزیع سرعت جریان در کانال‌ها، پیچیده و سه بعدی بوده و بدست اوردن رابطه‌ای کلی که بیانگر توزیع سرعت جریان در کانال‌هایی با خصوصیات متفاوت باشد، به سادگی میسر نیست [۷].

در حال حاضر روابط اندکی اهستند که توزیع خطوط هم سرعت را در مقطع کanal پیش‌بینی می‌کنند. از جمله آنها می‌توان به معادلات Chiu & Lin (1983) اشاره نمود [۶]. این معادلات پایه آماری داشته و از مفهوم آنتروپی در توصیف خطوط هم سرعت در مقطع جریان کانال‌های روباز استفاده می‌کنند. معادله ارائه شده قادر است تغییرات سرعت در دو جهت قائم و افقی در مقطع عرضی را که ماکریزم سرعت در روی سطح آزاد و یا زیر آن قرار گیرد، توصیف نماید [۶]:

$$\xi = Y(1-Z)^{\beta_i} \exp(\beta_i Z - Y + 1). \quad (1)$$

که در آن:

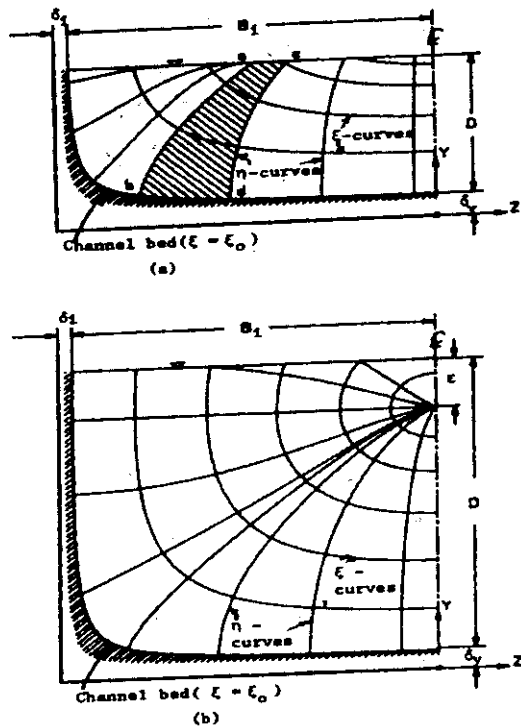
$$Y = \frac{y + \delta_y}{D + \delta_y + \varepsilon}, \quad Z = \frac{|z|}{B_i + \delta_i}. \quad (2)$$

اندازه‌گیری جریان که مقطع کanal به نوارهای قائم متوازی تقسیم‌بندی می‌شود بسته به آنکه سرعت در نقطه‌ای به عمق  $d$  (عمق جریان) از نوار قائم مورد نظر برداشت شود (روش تک نقطه‌ای) و یا در دو نقطه با اعماق  $0.2d$  و  $0.8d$  اندازه‌گیری شود (روش دو نقطه‌ای) جواب‌های مختلفی از تخمین‌دی بسته می‌آید. در این روش‌ها فرض می‌گردد که سرعت اندازه‌گیری شده در عمق  $0.6d$  و یا میانگین حسابی سرعت برداشت شده در اعماق  $0.2d$  و  $0.8d$  با سرعت متوسط نوار برابر باشد و لذا دیگر از حاصل ضرب سرعت متوسط هر نوار در مساحت آن بدست می‌آید. بر اساس اطلاعات میدانی دیده شده است افزایش تعداد نقاط برداشت شده منجر به تخمین‌های بهتری از دیگر خواهد شد زیرا پروفیل سرعت دقیقاً از نوع لگاریتمی توزیع سرعت پیروی نمی‌کند. در ایستگاه‌های اندازه‌گیری دیگر زمانی که تغییرات زیادی در عمق یا سرعت رخ دهد حداقل در ۲۰ نوار قائم اطلاعات سرعت برداشت می‌شود، انجام چنین کاری ممکن است دشوار، پر هزینه و وقت‌گیر باشد [۱۱، ۸، ۲] با وجود آنکه برداشت سرعت از نقاط اشاره شده فوق بر اساس پیش‌زمینه هیدرولیکی توزیع لگاریتمی سرعت پیشنهاد شده است لکن وجود جداره‌های جانبی می‌تواند توزیع سرعت را به مقادیر قابل ملاحظه‌ای از آنچه در فرمول‌های پیشنهادی رخ می‌دهد، دور سازد.

در مقاله حاضر روشی جدید بر اساس اندازه‌گیری تک نقطه‌ای جریان به عنوان یک کارآزمایشگاهی در ترکیب با روشی برای تخمین خطوط هم سرعت جریان به عنوان کاری تنوریک، جهت تخمین دیگر ارائه شده است.

## ۲- مقدمه‌ای بر روش پیشنهادی

ذر جریان خارجی یا داخلی، هنگامی که سیال از روی سطح جامد عبور می‌کند، سرعت جریان تحت تأثیر مرزها قرار می‌گیرد. به این معنی که در غیاب مرزها، جریان با سرعت یکنواخت از کل مقطع عبور می‌کند اما با وجود مرزها توزیع سرعت یکنواخت نیست و در نقاط نزدیک به مرزها کاهش سرعت بیشتری دیده می‌شود و در نتیجه گرادیان سرعت بیشتر است. تقریباً تمامی روابط سرعت به نحوی پروفیل سرعت را بر روی جداره تابعی از لازم است، فاصله از جداره، معروفی می‌کنند: با توجه به برداشت هیدرودینامیکی، ارائه شده می‌توان تصور نمود که در حالت کلی سرعت تابعی از فاصله نقطه مورد نظر تا جداره



شکل ۱ - سیستم مختصات و پارامترهای مدل Chiu

| (a)  $\xi > 0$  و (b)  $\xi < 0$  |

با توجه به این حقیقت که سرعت ماکریم در زیر سطح آزاد جریان اتفاق می‌افتد اما توزیع‌های مرسوم سرعت مانند توزیع توانی و لگاریتمی سرعت، ماکریم سرعت را در سطح آزاد جریان پیش‌بینی می‌کنند، می‌توان به صفت روابط کلی موجود رمانیکه در یک کanal با هندسه مشخص، بکار برده می‌شوند، بی‌پرد. علاوه بر این توزیع‌های سرعت موجود، قادر نیستند تغییرات سرعت را در دو جهت قائم و جانبی در مقطع کanal توصیف نمایند. بنابراین باید به دنبال مدلی بود که قادر باشد تغییرات سرعت در جهت قائم و عرضی را در نظر گرفته تا بتوان خطوط هم سرعت را در مقطع جریان ترسیم نمود.

یکی از عوامل مهم تضمین‌گیری در مردم مسائل آبی نظری طراحی سازه‌های هیدرولیکی، داشتن اطلاعات مربوط به میزان دیگری دیگری دیگری با استفاده از روش سرعت - مساحت که لازمه اندازه‌گیری دیگری دیگری با استفاده از روش سرعت - مساحت که لازمه آن برداشت سرعت در نقاط سبکی، زیادی از مقطع جریان می‌باشد، پرهزینه و زمان بر است. مثلاً در روش‌های نقطه‌ای

مرزی بوده و  $P$  پیرامون مربوط است. بزرگی عدد بدست آمده از معادله (۷) معنی خاصی ندارد اما مقدار بی بعد شده آنها مهم است. معادله (۷)، را می‌توان برای  $N$  نقطه دلخواه در مقطع جریان بکار برد، بنابراین می‌توانتابع سرعت متوسط را در مقطع جریان به صورت زیر نوشت:

$$U_e = \frac{\sum_{i=1}^N u_i A_i}{A} \quad (8)$$

که در آن  $U_e$  متوسط اثرات کل مرزها در مقطع جریان،  $A$  مساحت کل مقطع جریان و  $A_i$  مساحت مربوط به هر المان دلخواه در مقطع جریان است. با توجه به روابط فوق می‌توان معادله تجربی زیر را برای سرعت‌های بی بعد در هر نقطه دلخواه در مقطع جریان نظیر  $M$  نوشت [۱۶]:

$$\left. \frac{u}{U} \right|_M = \frac{u_M}{U_e} \quad (9)$$

که در آن  $U$  سرعت متوسط و  $u$  سرعت محلی جریان است.

**۳- استفاده از قانون توانی سرعت در مدل**  
قانون توانی سرعت که از معادلات دیفرانسیل جزئی استخراج می‌شود برای جریان آشفته، یکنواخت و دائمی در لوله‌ها و کانال‌های عریض رو باز به صورت زیر نوشته می‌شود [۴]:

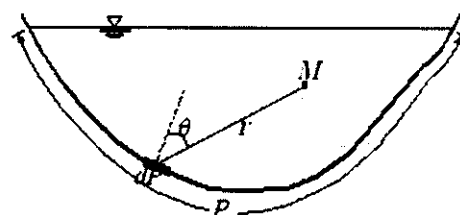
$$\frac{u}{u_*} = a \left( \frac{y}{y_0} \right)^m \quad (10)$$

که در آن  $y$  فاصله نقطه مورد نظر از کف کanal،  $u$  سرعت برشی جداره که از رابطه  $\rho = u_* \sqrt{20}$  محاسبه می‌شود و در آن  $y_0$  تنش برشی جداره،  $\rho$  دانسیته سیال بوده و  $a$  و  $m$  ضرائب ثابت هستند. مقدار  $m$  با توجه به رژیم جریان و آشفتگی آن بین  $1/12$  تا  $1/4$  تغییر می‌کند اما در اندازه‌گیری‌های آزمایشگاهی پروفیل سرعت برای اعداد رینولدز تا  $10^5$  مشاهده شده که با  $m = 1/7$  نتایج بهتری حاصل می‌شود [۲۱]. مقدار  $y_0$  طول مشخصه‌ای است که بستگی به شرایط هیدرولیکی جریان داشته و اغلب محققان آن را برابر  $(94/9)/\theta$  برای جریان

در هر امتداد می‌باشد، بنابراین می‌توان برای نقاط مختلف جداره سهمی از تأثیرگذاری سرعت در نقطه مورد نظر را قائل شد. لذا می‌توان اثرات مرزها را روی سرعت نقطه دلخواهی از مقطع جریان را به صورت تابعی نظیر  $f$  نوشت:

$$u_M \propto f(r) \quad (5)$$

که در آن  $u_M$ : اثر مرزها بر روی سرعت نقطه دلخواه  $M$ ،  $M$  تابعی از سرعت بوده که بستگی به رژیم جریان دارد و  $r$  فاصله نقطه دلخواه تا المان مرزی را نشان می‌دهد (شکل ۲).



شکل ۲- اثر مرزها بر روی سرعت نقطه دلخواه

می‌توان تأثیر جداره بر سرعت در یک نقطه را با در نظر گرفتن اثرات ناشی از نیروی الکتریکی وارد بر یک ذره با بار ساکن که در میدان الکتریکی سیمی با جریان الکتریکی قرار می‌گیرد، شبیه سازی نمود. در این شبیه‌سازی سیم نقش بستر جریان و بار ساکن واقع در میدان نقطه مورد نظر به تحت تأثیر میدان جریان قرار می‌گیرد را ایفا می‌کند. با این تعبیر می‌توان فرض کرد که هر المان مرزی،  $dP$ ، بر روی سرعت نقطه  $M$  به صورت زیر اثر داشته باشد [۱۴، ۱۵، ۱۶]:

$$\delta u_M = cf(r) \cos \theta \cdot dP \quad (6)$$

بنابراین اثرات کل المان‌های مرزی را می‌توان با انتگرال گیری بر روی پیرامون مربوط بدست آورد:

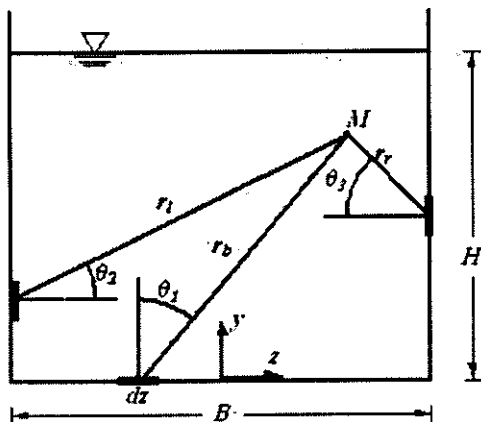
$$u_M = \int_P^r cf(r) \cos \theta \cdot dP \quad (7)$$

که در آن  $c$  ضریبی است. که به سرعت برشی در جداره، عدد رینولدز محلی، شدت آشفتگی جریان و ارتفاع المان‌های زیری داشته،  $\theta$  زاویه بین بردار موقعیت و بردار عمود بر المان

را در معادله (۱۲) جایگزین نمود (شکل ۳)، خواهیم داشت:

$$\begin{aligned} u_M = & \int_{-B/2}^{B/2} c_b y_M r_b^{m-1} dz \\ & + \int_{-H/2}^{H/2} c_l (B/2 + z_M) r_l^{m-1} dy \quad (12) \\ & + \int_{-H/2}^{H/2} c_r (B/2 - z_M) r_r^{m-1} dy \end{aligned}$$

که در آن  $(z_M, y_M)$  مختصات نقطه دلخواه در مقطع جریان، ضرائب  $c_b$ ,  $c_l$  و  $c_r$  مقادیر نسبی زبری است که با توجه به زبری هر جداره در جدول (۱) نشان داده شده است. با استفاده از معادلات (۸)، (۹) و (۱۳) میتوان سرعت های بی بعد را در کanal مستطیلی محاسبه نمود.



شکل ۳ - سیستم مختصات و پارامترهای مدل

جدول ۱- ضریب زبری لایه های مختلف زبری

| نسبت<br>زبری ها | ضریب زبری<br>مانیگ: n | ارتفاع زبری<br>$k_y$ (mm) | نام لایه زبر |
|-----------------|-----------------------|---------------------------|--------------|
| 1               | 0.008                 | 0.1                       | شیشه صاف     |
| 2.18            | 0.0183                | 11                        | زبری درشت    |
| 1.8             | 0.015                 | 3.5                       | زبری ریز     |

۴- کارهای آزمایشگاهی  
مطالعات آزمایشگاهی در یک کanal مستطیلی به عرض ۴۰ سانتی متر، ارتفاع ۵۰ سانتی متر، طول ۸ متر و شیب حدود

از لحاظ هیدرولیکی صاف و  $k_y/30 = 30/30 = 1$  برای جریان کاملاً زبر، گزارش کردند. [۴] زبری معادل نیکورادزه و  $D$  لزجت سینماتیکی سیال است.

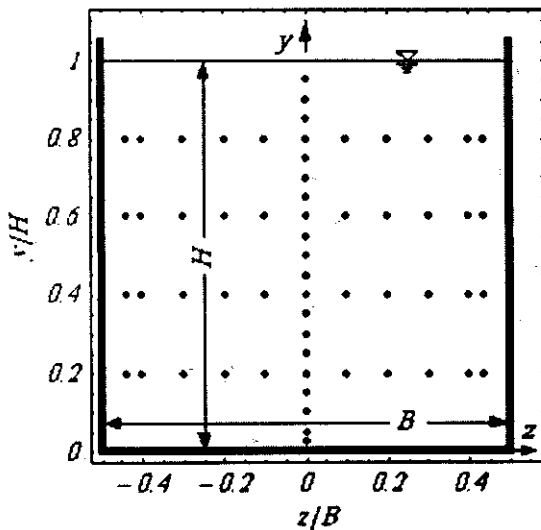
معادله (۱۰) نشان می دهد که سرعت با  $y^m$  نسبت مستقیم دارد. با توجه به اینکه ذر بسیاری از موارد مجرانی که در آن جریان برقرار می گردد نه به صورت یک صفحه تخت و عربض بوده و نه بصورت یک مجرای لوله ای شکل است، بنابر این بنظر می رسد جایگزینی  $\theta$  با  $\alpha$  در معادله (۱۰) مشکل پیچیدگی هندسی مرزها را بتحوی حل نماید. لذا بمنظور لحاظ نمودن شرایط هندسی مجرانی که در آن جریان برقرار می گردد  $\theta$  بجای  $\alpha$  جایگزین می شود و فرض می گردد که اثر المان مرزی بر روی تغییرات سرعت را بتوان به صورت زیر محاسبه نمود [۱۵، ۱۳]:

$$\delta u_M = cr^m \cos \theta \cdot dP \quad (11)$$

ا در رابطه اخیر مقدار  $\delta u_M$  تغییرات اثر مرزها بر روی سرعت نقطه  $M$  است. با توجه به شکل (۳)، تابع سرعت شامل سه عامل مهم است [۱۰] اثر کف، اثرات دیواره ها و اثر سطح آزاد جریان؛ اگر از اثر سطح آزاد جریان صرف نظر شود برای تعیین اثرات مرزها از معادله (۱۱) پر روش پیرامون مرطوب انتگرال گیری می شود:

$$\begin{aligned} u_M = & \int_{bed} c_b r_b^m \cos \theta_1 \cdot dz \\ & + \int_{left} c_l r_l^m \cos \theta_2 \cdot dy \\ & + \int_{right wall} c_r r_r^m \cos \theta_3 \cdot dy \end{aligned} \quad (12)$$

که در معادله فوق  $c_b$ ,  $c_l$  و  $c_r$  به ترتیب برای کف، دیواره چپ و دیواره راست کanal، مقادیری هستند که به سرعت پرشی جداره،  $a$ ,  $m$  و  $\theta$  بستگی دارند. با فرض واقع بودن مبدأ مختصات در وسط کف کanal می توان نوشت:  $r_b \cos \theta_1 = y_M$ ,  $r_l \cos \theta_2 = B/2 + z_M$  و  $r_r \cos \theta_3 = B/2 - z_M$ .

شکل ۵- نقاط اندازه‌گیری سرعت برای  $B/H$  های مختلف

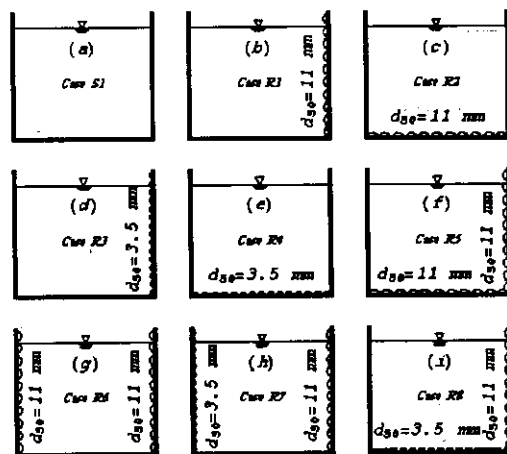
## ۵- نتایج و بحث

با استفاده از مدل پیشنهادی با مقدار  $m=1/7$  خطوط هم سرعت بدون بعد در کanal مستطیلی در حالت‌های  $S1$  و  $R1$  برای  $B/H$  های ۴، ۲ و ۱ در شکل (۶) ترسیم شده است. مقادیر نشان داده شده بر روی خطوط هم سرعت نشان دهنده سرعت‌های بدون بعد شده با استفاده از سرعت میانگین مقطع،  $U$ ، می‌باشد. با توجه به این شکل مشاهده می‌شود که در حالت  $S1$  خطوط هم سرعت نسبت به  $z/B = 0$  متقارن بوده و ماکزیمم سرعت در  $z/B = 0$  اتفاق می‌افتد (شکل ۶a-c). اما در حالت  $R1$  خطوط هم سرعت تقارن ندارند و ماکزیمم سرعت به دور از سطح زیر رانده شده و در  $z/B < 0$  اتفاق می‌افتد (شکل ۶d-f). در  $B/H = 4$  خطوط هم سرعت برای هر دو حالت تقریباً موازی بستر کanal بوده و سرعت ماکزیمم در سطح آزاد جریان اتفاق می‌افتد با این تفاوت که در حالت  $R1$  مقدار سرعت ماکزیمم کمتر از حالت  $S1$  است (شکل ۶g-i).

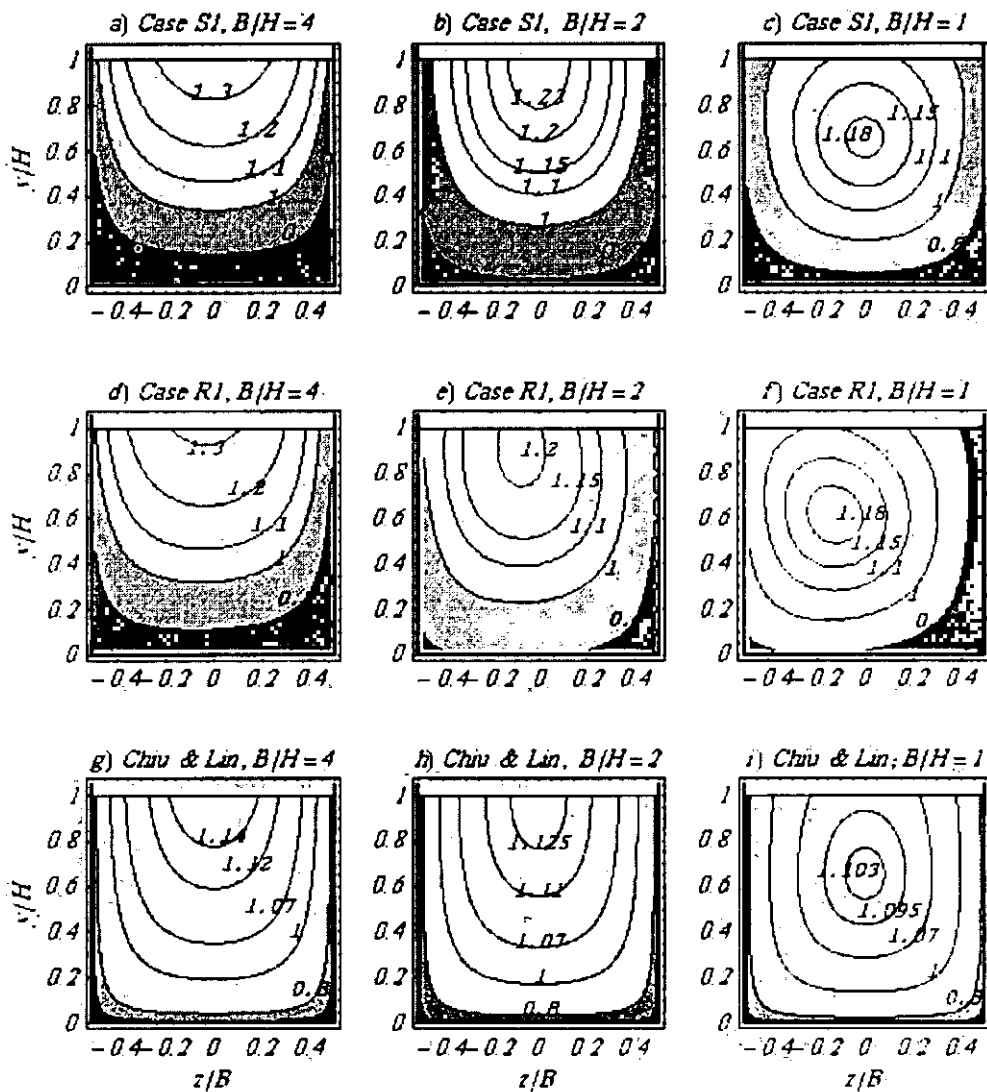
۰/۰۰۱ جهت برقراری جریان یکنواخت انجام شد. سرعت محلی جریان به وسیله میکروپرول (Low Speed Probe 403) با دقت ۱٪ در محدوده ۱۵ تا ۳۰۰ سانتی‌متر بر ثانیه در مقطعی به فاصله ۴/۸ متر از بالادست کanal اندازه‌گیری شد. برای ایجاد زبری کف و دیوارهای کanal از دو نوع شن به قطرهای  $d_{50} = 3.5 \text{ mm}$  و  $d_{50} = 11 \text{ mm}$  استفاده شد.

دانسیته نسبی ذرات ۲/۶۵ و زاویه پایداری برای دانه‌های درشت ۳۵ درجه و برای دانه‌های ریز ۳۱ درجه محاسبه شده است. برای محاسبه انحراف معیار هندسی ذرات، تعداد ۱۲۰ ذره با کولیس اندازه‌گیری شده و مقدار آن برابر ۲/۴ و ۱/۲۵ بترتیب برای دانه‌های درشت و ریز محاسبه شده است.

دانه‌های شن بطور یکنواخت بر روی شیشه چسبانده شدند و شیشه‌ها در امتداد یکدیگر در طول کanal بر روی کف و یا دیوارهای کanal نصب شدند. آزمایشات برای ۹ حالت مختلف که در شکل (۴) نشان داده شده است، انجام شد. در هر حالت داده‌های آزمایشگاهی برای  $B/H$  های ۱/۳۳، ۲، ۴ و ۱ جمع‌آوری شد و برای هر  $B/H$  حدود ۵۰ تا ۶۰ اندازه‌گیری سرعت در مرکز مقطع کanal در هر ۱ یا ۲ سانتی‌متر در جهت قائم و در هر  $H/y$  برابر ۰/۰۴، ۰/۰۶ و ۰/۰۸ در جهت عرضی، به فواصل ۴ سانتی‌متر انجام شد (شکل ۵). در مجموع حدود ۹۳۰ داده جمع‌آوری شد.



شکل ۶- نمایش چیدمان‌های مختلف زبری در مقطع کanal



شکل ۶ - خطوط هم سرعت بدون بعد محاسبه شده در کanal مستطیلی صاف و با زبری غیر یکنواخت

معادلات توزیع سرعت Chiu & Lin نمیتوانند خطوط هم سرعت را در مقطع کanal با زبری‌های مرکب پیش‌بینی کنند با این وجود نمایش خطوط هم سرعت در حالت S1 برای  $B/H$  های ۴، ۲ و ۱ با استفاده از این معادلات در شکل‌های (a-g) ترسیم شده است. با توجه به شکل‌ها و همچنین معادلات توزیع سرعت Chiu & Lin مشاهده می‌شود که در  $B/H = 4$  خطوط هم سرعت برای حالت S1 تقریباً موازی بستر کanal بوده و شب خطوط هم سرعت بزرگتر از صفر است [۵]. ذر  $B/H = 2$  خطوط هم سرعت برای حالت S1 بر سطح آزاد جریان عمود هستند و شب خطوط هم سرعت بزرگتر

در  $B/H = 2$  خطوط هم سرعت برای حالت S1 بر سطح آزاد جریان عمود هستند و سرعت ماکریزم در سطح آزاد جریان اتفاق می‌افتد اما برای حالت R1 سرعت ماکریزم در زیر سطح آزاد جریان اتفاق می‌افتد (شکل e). ذر  $B/H = 1$  سرعت ماکریزم برای هر دو حالت در زیر سطح آزاد جریان اتفاق می‌افتد (شکل‌های f) و برای حالت R1 به صورت واضح دیده می‌شود که ماکریزم سرعت به فاصله‌ای دورتر از سطح زیر رانده شده است (شکل f). مقایسه نتایج آزمایشات نیز موارد فوق را تأیید می‌نماید.

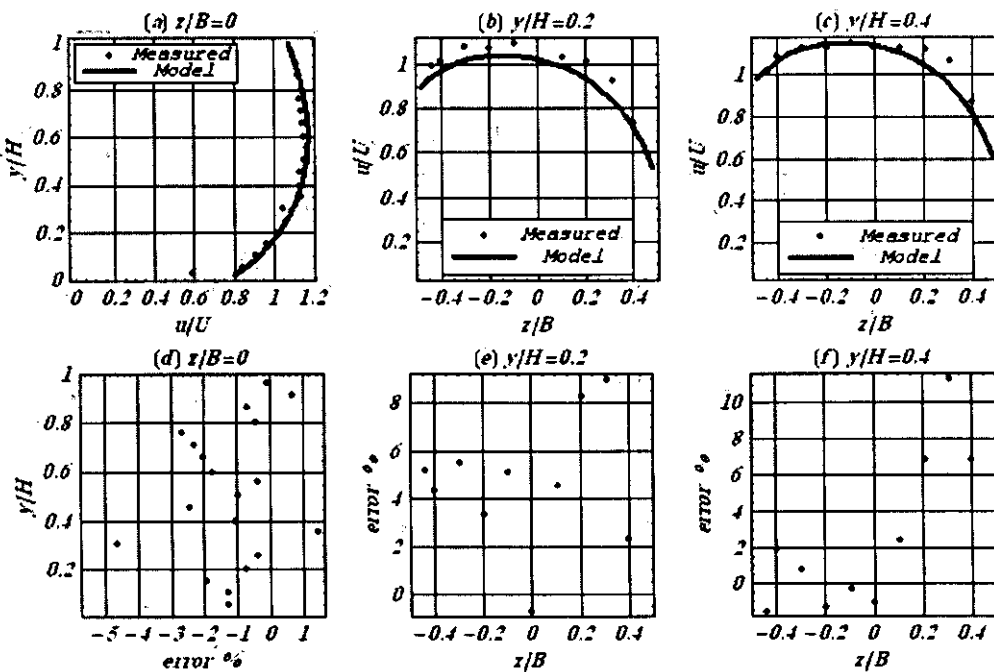
(شکل های ۷a-c). خطای بین نقاط اندازه گیری شده و پیش بینی های مدل با استفاده از معادله (۱۴) محاسبه شده است:

$$\text{error} = \frac{Q_m - Q_c}{Q_m} \times 100 \quad (14)$$

که  $Q_m$  مقدار اندازه گیری شده در آزمایشگاه و  $Q_c$  مقدار محاسبه شده با استفاده از مدل می باشد. خطاهای برای همه نقاط اندازه گیری شده برای حالت R1 در شکل های (۷d-f) ترسیم شده است. مشاهده می شود که مدل پروفیل قائم را با خطای نسبی ۱/۴٪ و پروفیل عرضی در  $y/H = 0.2$  را با خطای نسبی ۴/۸٪ و پروفیل عرضی در  $y/H = 0.4$  را با خطای نسبی ۳/۴٪ پیش بینی می کند.

و یا مساوی صفر است ( $\epsilon = 0$ ) و سرعت ماکریم دقیقاً در سطح آزاد جریان اتفاق می افتد. در  $B/H = 1$  سرعت ماکریم برای حالت S1 در زیر سطح آزاد جریان اتفاق می افتد ( $\epsilon < D + \epsilon$ ) و برای  $y > D + \epsilon$  شب خطوط هم سرعت بزرگتر از صفر و برای  $y = D + \epsilon$  شب خطوط هم سرعت مساوی صفر و برای  $y < D + \epsilon$  شب خطوط هم سرعت کوچکتر از صفر است [5, 6]. این مدل قادر به ارائه خطوط هم سرعت در کانال های با زبری های غیر یکنواخت نمی باشد مگر آن که موقعیت حد اکثر سرعت شناخته شده باشد.

در شکل (۷) پروفیل های سرعت در جهت قائم در محور مرکزی کanal ( $z/B = 0$ ) و در جهت عرضی در  $y/H = 0.2$  و  $0.4$  با استفاده از مدل ترسیم شده و با نقاط اندازه گیری شده برای حالت R1 با  $B/H = 1$  مقایسه شده است



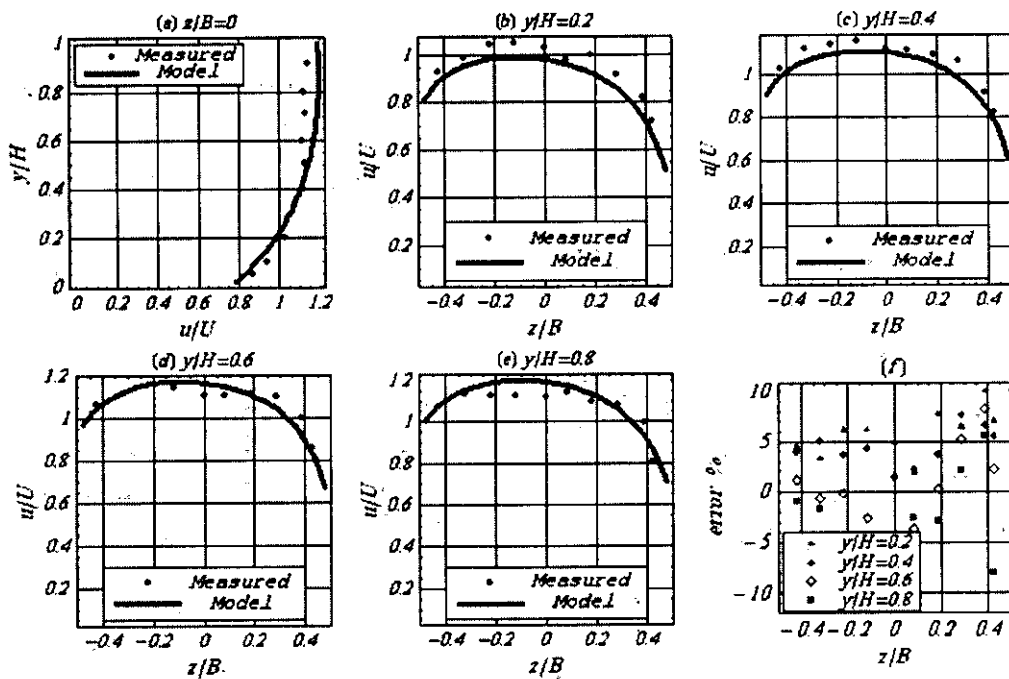
شکل ۷ - (a - c) مقایسه پروفیل های سرعت حاصل از مدل و نقاط اندازه گیری شده برای حالت R1 با  $B/H = 2$  و (d - f) خطای تخمین دبی نظیر نقاط اندازه گیری شده

شده و با نقاط اندازه گیری شده برای حالت R5 با  $B/H = 2$  مقایسه شده است (شکل های ۸a-e). خطاهای برای نقاط اندازه گیری شده در جهت عرضی برای حالت R5 در شکل

در شکل (۸) پروفیل های سرعت در جهت قائم ( $z/B = 0$ ) و در جهت عرضی ( $y/H = 0.2, 0.4, 0.6, 0.8$ )

می‌کند. در شکل (۹) درصد خطای مقادیر محاسبه شده  $u/U$  و تعداد وقوع آنها ترسیم شده است. مشاهده می‌شود که ۹۵٪ مقادیر محاسبه شده، خطای کمتر از ۲۰٪ دارند و ۷۰٪ مقادیر محاسبه شده، خطای کمتر از ۱۰٪ دارند.

(۸f) ترسیم شده اینست. مشاهده می‌شود که مدل پروفیل قائم را با خطای نسبی ۴۱٪ و پروفیل عرضی در  $y/H = 0.2$  را با خطای نسبی ۶۴٪ و پروفیل عرضی در  $y/H = 0.4$  را با خطای نسبی ۴۵٪ و پروفیل عرضی در  $y/H = 0.6$  را با خطای نسبی ۳٪ و پروفیل عرضی در  $y/H = 0.8$  را با خطای نسبی ۴٪ پیش‌بینی می‌کند. در مجموع دو حالت مدل پروفیل‌های قائم و عرضی را با خطای نسبی ۴٪ پیش‌بینی

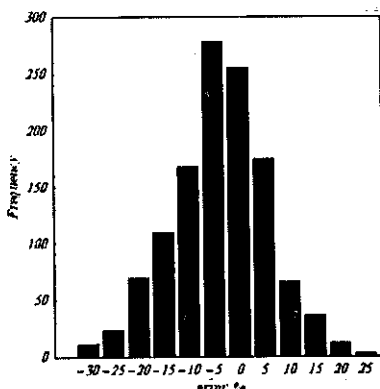
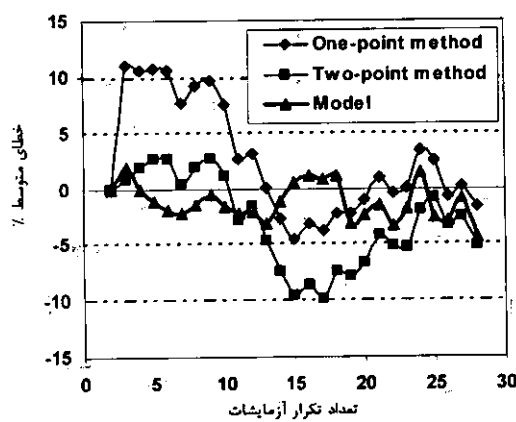


شکل ۸ - مقایسه پروفیل‌های سرعت حاصل از مدل و نقاط اندازه‌گیری شده برای حالت  $R5$  با  $B/H = 2$ . (a) محور مرکزی کanal، (b - e) بترتیب در  $y/H = 0.2$  و (f) خطای تخمین دبی تغییر نقاط اندازه‌گیری شده

توجه شود که برای تخمین دبی با استفاده از مدل حاضر، موقعیت نقطه انتخابی در  $y/H = 0.4$  انتخاب شده است و دبی جریان با استفاده از مدل برای  $B/H$  های مختلف چندین بار محاسبه شده و با روش‌های تک نقطه‌ای و دونقطه‌ای مقایسه شده است. مقایسه دبی اندازه‌گیری شده با دبی تخمین زده شده نشان می‌دهد که متوسط خطاهای این مدل از حدود ۵٪ تجاوز نمی‌کند اما متوسط خطاهای روش دو نقطه‌ای از حدود ۱۰٪ و روش یک نقطه‌ای بیش از ۱۰٪ است (شکل ۱۰). در مراجع دیگر خطای تخمین دبی برای  $B/H$  های ۱/۶۷، ۱/۲۵ و ۱ به ترتیب

با استفاده از خطوط هم سرعت بدست آمده می‌توان دبی جریان را تخمین زد. راهکار بین صورت است که در یک نقطه دلخواه از مقطع عرضی سرعت جریان،  $u$ ، اندازه‌گیری می‌شود سپس با توجه به موقعیت نقطه اندازه‌گیری شده، مقدار عددی خطوط هم سرعت بدون بعد ( $\tilde{u}$ ) که برابر  $U$  است، استخراج می‌شود. آنگاه دبی جریان با استفاده از  $\tilde{Q} = Au/\tilde{u}$  تخمین زده می‌شود که در آن  $A$  مساحت مقطع جریان و  $Q$  دبی جریان است.

در شکل (۱۰) متوسط خطاب برای روش‌های تخمین دبی (روش یک نقطه‌ای، دو نقطه‌ای و مدل حاضر) ترسیم شده است.

شکل ۹- درصد خطاهای محاسبه  $U/H$  و تعداد رخداد آنهاشکل ۱۰- خطای محاسبات انجام شده جهت تخمین دبی برای چیدمان های شکل ۴ در  $B/H$  های مختلف

|  |                 |
|--|-----------------|
| مساحت مقطع جریان   | $A$             |
| ضریب در قانون توائی سرعت                                     | $a$             |
| عرض کانال مستطیلی  | $B$             |
| ضریب تناسب   | $c$             |
| ضرایبی به ترتیب برای کف کانال، دیواره چپ و دیواره راست کانال | $c_b, c_l, c_r$ |
| عمق جریان در معادلات توزیع سرعت Chiu & Lin                   | $D$             |
| تابع   | $f$             |
| عمق جریان  | $H$             |
| ضریب زیری نیکورادزم  | $k_s$           |

برای روش یک نقطه‌ای ۱۵٪، ۱۷٪ و ۱۸٪ و برای روش دو نقطه‌ای ۱۱٪، ۱۴٪ و ۱۴٪ گزارش شده است [۱۳].

#### ۶- خلاصه و نتیجه‌گیری

روشی ساده برای تخمین خطوط هم سرعت بدون بعد در مجاري مستقيمه و کانال‌های رویانه شده است. این روش نه تنها در ارائه الگوی خطوط هم سرعت و ترسیم پروفیلهای سرعت در جهت قائم و افقی، ضرائب تصحیح انزوی و مومنتم اطلاعات مفیدی را تولید می‌کند بلکه در تخمین دبی نیز روشی مؤثر، کم هزینه و با خطای قابل قبول می‌باشد. با استفاده از خطوط هم سرعت بدون بعد و اندازه‌گیری سرعت نقطه‌ای دلخواه در مقطع جریان، دبی جریان با خطای کمتر از ۵٪ تخمین زده می‌شود.

همچنین مدل پروفیلهای قائم و عرضی را با خطای نسبی ۴٪ پیش‌بینی می‌کند. سادگی مدل از خصوصیات اصلی آن است.

مدل دارای پارامترهای کم بوده و تخمین آنها بسیار ساده است. نیاز به اطلاعات هندسی از مقطع جریان و نیز شرایط مرزی مقطع به همراه خصوصیات هیدرولیکی جریان نظریه‌نشاهی برشی از اطلاعات اساسی در کاربرد مدل بوده که می‌توان با برآورد تقریبی آنها به جواب‌های نسبتاً خوبی از مدل دست یافت.

علاوه بر آن مدل قادر به ارائه خطوط هم سرعت در مقاطع منظم و یا نامنظم با زیرهای مرکب می‌باشد. مقایسه نتایج تخمین دبی حاصل از مدل عددی با داده‌های آزمایشگاهی حاکی از دقت بسیار خوب مدل در مقایسه با سایر روش‌های متداول می‌باشد. بعلاوه کار میدانی مورد نیاز در این روش به مرابت کمتر از سایر روش‌های میدانی اندازه‌گیری دبی جریان می‌باشد.

بر اساس نتایج ارائه شده، مدل ماکزیمم سرعت را برای نسبت‌های  $B/H < 2$  در زیر سطح آزاد جریان پیش‌بینی می‌کند. نتایج حاصل از مدل نشان می‌دهد که با افزایش زیری سطح، ماکزیمم سرعت به فاصله‌ای دورتر از سطح زیر رانده می‌شود.

- agricultural hydrology. Agriculture Handbook 224, USDA, Washington, Dc.
- [3] Chaudhry, M. H. (1993). Open channel flow. Prentice-Hall, Inc., A Simon & Schuster Company Englewood Cliffs, New Jersey.
- [4] Chen, C. L. (1991). "Unified theory on power laws for flow resistance." *J. Hydraulic Eng.*, 117(3), 371-389.
- [5] Chiu, C. L. (1989). "Velocity distribution in open channel flow." *J. Hydraulic Eng.*, 115(5), 576-594.
- [6] Chiu, C. L., and Lin G. F., (1983). "Computation of 3-D flow and shear in open channels", *J. Hydraulic Eng.*, 109(11), 1424-1440.
- [7] Chow, V. T. (1959). Open channel hydraulics. McGraw-Hill, New York, USA.
- [8] Goudie, A. (1981). Geomorphological techniques. George Allen & Unwin, London, edited for the British Geomorphological Research Group.
- [9] Guo, J. and Julien, P. Y. (2005). "Shear stress in smooth rectangular open-channel flows." *J. Hydraulic Eng.* 131(1), 30-36.
- [10] Guo, J. and Julien, P. Y. (2002). "Modified log-wake law in smooth rectangular open-channels." Proc. of the 13th APD-IAHR Congress, Singapore, August 6-8, 87-99.
- [11] Kinori, B. Z. and Mevorach, J. (1984). "Manual of surface drainage engineering." Volume II stream flow engineering and flood protection, Elsevier, New York.
- [12] Knight, D. W., Demetriou, J. D. and Hamed, M. E. (1984). "Boundary shear in smooth rectangular channels." *J. of Hydraulic Eng.* 110(4), 405-422.
- [13] Magharebi, M. F. (2003). "Discharge Estimation in flumes using a new technique for the production of isovel contours." Proc. of Inter. Conf. on Civil and Envi. Eng., ICCEE, Hiroshima, Japan, 147-156.
- [14] Magharebi, M. F. (2006). "Application of the single point measurement in discharge estimation." *Advances in Water Resources* 29(10), 1504-1514.
- [15] Magharebi, M. F. and Ball J. E. (2006). "New method for estimation of discharge." *J. Hydraulic Eng.* 132(10), 1044-1051.
- [16] Magharebi, M. F. and Rahimpour M., (2005). "A simple model for estimation of dimensionless isovel contours in open-channels." *Flow Measurement and Instrumentation* 16(6) 347-352.

|   |   |
|---|---|
| ثابت  | $m$   |
| تعداد نقاط در مقطع جریان  | $N$   |
| فاصله نقطه مورد نظر تا المان مرزی   | $r$   |
| فاصله نقطه مورد نظر تا المان مرزی به ترتیب برای کف کanal، دیواره چپ و دیواره راست کanal                 | $r_h, r_b, r_r$   |
| سرعت متوسط جریان  | $U$   |
| متوسط اثرات کل مرزاها در مقطع جریان   | $U_e$   |
| سرعت محلی متوسط زمانی   | $u$   |
| سرعت بی بعد   | $u/U (= \tilde{u})$   |
| اثر مرزاها بر روی سرعت نقطه دلخواه $i$ ام   | $u_i$   |
| سرعت بر بشی جداره   | $u_{\bullet}$   |
| جهت جریان   | $x$   |
| جهت قائم  | $y$   |
| طول مشخصه ای است که بستگی به شرایط هیدرولیکی جریان دارد   | $Y_0$   |
| محخصات المان مرزی   | $(z, y)$  |
| محخصات نقطه دلخواه در مقطع جریان  | $(z_M, y_M)$  |
| ضرائب مشخصات توزیع سرعت & Lin $\delta_y, \varepsilon$   | $\beta_i, \xi_0, \delta_i,$<br>$\beta_{\gamma}, \xi_{\gamma}, \delta_{\gamma}, \varepsilon$ |
| ثابت ون کارمن   | $K$   |
| لرجت سینماتیکی  | $v$   |
| دانسیته سیال  | $\rho$  |
| نشش بر بشی جداره  | $\tau_0$  |
| زاویه بین بردار موقعیت و بردار عمود بر المان مرزی   | $\theta$  |
| زاویه بین بردار موقعیت و بردار عمود بر المان مرزی به ترتیب برای کف کanal، دیواره چپ و دیواره راست کanal | $\theta_1, \theta_2, \theta_3$  |

## مراجع

- [1] Balachandar, R., Hagel, K. and Blakely, D. (2002). "Velocity distribution in decelerating flow over rough surfaces." *Canadian J. of Civil Eng.*, 29, 211-221.
- [2] Brakensiek, D. L., Osborn, H. B. and Rawls, W. J. (1979). Field manual for research in